



شناسایی نوع و مدل وسیله نقلیه با استفاده از

مجموعه بخش‌های متمایزکننده

محسن بیگلری^{۱*}، علی سلیمانی^۲ و حمید حسنپور^۳

^{۱۳} دانشکده مهندسی کامپیوتر و آی‌تی، دانشگاه صنعتی شاهرود، شاهرود، ایران

^۲ دانشکده مهندسی برق و رباتیک، دانشگاه صنعتی شاهرود، شاهرود، ایران

چکیده

طبقه‌بندی دقیق اشیا (Fine-Grained Recognition) چالشی است که جامعه بینایی ماشین در حال حاضر با آن رو به رو شده است. در این نوع طبقه‌بندی گروه کلی شیء مشخص بوده و هدف تعیین زیرگروه دقیق آن است؛ شناسایی نوع و مدل وسیله نقلیه (VMMR) نیز در این حوزه قرار می‌گیرد. این مسئله به‌دلیل وجود تعداد طبقه‌های زیاد، تفاوت درون‌طبقه‌ای بسیار و تفاوت بین طبقه‌ای کم از مسائل طبقه‌بندی دشوار به‌شمار می‌رود. در این مقاله روشی مبتنی بر بخش برای شناسایی نوع و مدل خودرو پیشنهاد شده است. این روش برای طبقه‌بندی طبقه‌های مختلف خودرو، ابتدا بخش‌های متمایزکننده هر یک را به صورت خودکار می‌یابد؛ سپس با استخراج ویژگی از این بخش‌ها و رابطه هندسی بین آن‌ها، یک مدل می‌آموزد. وزن بخش‌های مختلف هر مدل به صورت پویا و با استفاده از مجموعه داده‌های آموزشی یاد گرفته می‌شود. سامانه پیشنهادی با ترکیب این مدل‌ها به شناسایی طبقه خودرو می‌پردازد. برای آزمایش سامانه پیشنهادی و به‌دلیل عدم وجود مجموعه داده به اشتراک گذاشته شده، یک مجموعه داده با بیش از ۵۰۰۰ خودرو از ۲۸ طبقه مختلف تهیه و به صورت کامل علامت‌گذاری شده است. نتیجه آزمایش‌های انجام‌شده بر روی این تصاویر که دارای تغییرات روشناکی زیاد و تغییرات زاویه اندک هستند، نشان از دقت بالای روش پیشنهادی دارد.

واژگان کلیدی: شناسایی دقیق اشیا، شناسایی نوع و مدل وسیله نقلیه، VMMR، رویکرد مبتنی بر بخش

Using Discriminative Parts for Vehicle Make and Model Recognition

Mohsen Biglari^{1*}, Ali Soleimani² & Hamid Hassanpour³

^{1,3}Department of Computer Engineering and IT, Shahrood University of Technology,
Shahrood, Iran

²Department of Electrical Engineering and Robotics, Shahrood University of Technology,
Shahrood, Iran

Abstract

In fine-grained recognition, the main category of object is well known and the goal is to determine the subcategory or fine-grained category. Vehicle make and model recognition (VMMR) is a fine-grained classification problem. It includes several challenges like the large number of classes, substantial inner-class and small inter-class distance. VMMR can be utilized when license plate numbers cannot be identified or fake number plates are used. VMMR can also be used when specific models of vehicles are required to be automatically identified by cameras. Few methods have been proposed to cope with limited lighting conditions. A number of recent studies have shown that latent SVM trained on a large-scale dataset using data mining can achieve impressive results on several object classification tasks. In this paper, a novel method has been proposed for VMMR using a modified version of latent SVM. This method finds discriminative parts of each class of vehicles automatically and then learns a model for each class using features extracted from these parts and spatial relationship between them. The parts weights of each model are tuned using training dataset. Putting this individual models together, our proposed system can classify vehicles make and model. All training and testing steps of the proposed system are done automatically. For training and testing the

* Corresponding author

* نویسنده عهده‌دار مکاتبات

performance of the system, a new dataset including more than 5000 vehicles of 28 different make and models has been collected. This dataset poses different kind of challenges, including variations in illumination and resolution. The experimental results performed on this dataset show the high accuracy of our system.

Keywords: Fine-grained recognition, vehicle make and model recognition, VMMR, part-based approach

کاربردهای مناسبی برای راهنمایی و رانندگی، فروشندها خودرو و لوازم جانبی خودرو می‌تواند داشته باشد. در دهه اخیر مطالعاتی در رابطه با مشخصه‌های رانندگان وسایل نقلیه مختلف نیز صورت گرفته است، از قبیل رابطه جنسیت، درآمد و علایق شخص و خودرویی که سوار می‌شوند^[7]. به این وسیله تبلیغات هدفمند برای وسایل نقلیه مختلف می‌توان ارائه کرد. در این مقاله رویکردی جدید برای شناسایی نوع و مدل خودرو پیشنهاد شده است. این رویکرد برای هر نوع و مدل از خودروها، به جستجوی مجموعه‌ای از بخش‌های متمایز کننده پرداخته و مدلی مت Shank از این مجموعه بخش‌ها یاد می‌گیرد؛ بنابراین به ازای هر طبقه از وسایل نقلیه، یک مدل متناظر ایجاد می‌شود که شامل بخش‌های مختص به آن طبقه، وزن‌های مناسب برای فیلترهای مربوط به هر بخش و رابطه هندسی بخش‌ها نسبت به یکدیگر است؛ از این‌رو، هر مدل با استفاده از هر یک از این سه جنبه، قدرت تمایز خود را می‌تواند افزایش دهد. برای آزمایش رویکرد پیشنهادی، مجموعه داده‌ای بزرگ با بیش از ۵۰۰۰ خودرو از ۲۸ کلاس مختلف استهیه و علامت‌گذاری شده است. آزمایش‌های انجام‌شده بر روی این مجموعه داده، نشان از کارایی بالای رویکرد پیشنهادی دارند.

در ادامه مقاله، در بخش دوم، مروری بر کارهای گذشته صورت گرفته است. رویکرد پیشنهادی در بخش سوم توضیح داده شده است. بخش چهارم شامل جزئیات مجموعه داده تهیه شده و نتیجه آزمایش‌های انجام‌شده بر روی آن است. نتیجه‌گیری و کارهای آینده نیز در بخش پنجم و آخر ارائه شده است.

۲- مروری بر کارهای گذشته

از زاویه دید رویکرد پیشنهادی به مسئله، کارهای پیشین را به دو گروه کلی روش‌های کلی نگر و جزئی نگر می‌توان تقسیم‌بندی کرد. شکل (۱) روندمنای مراحل این روش‌ها را به نمایش گذاشته است. البته همه روش‌ها به‌الزام شامل همه بخش‌های نشان‌داده شده در شکل نیستند. در ادامه به توضیح روش‌های ارائه شده در هر یک از این دو گروه پرداخته شده است.

۱- مقدمه

شناسایی نوع و مدل وسیله نقلیه^۱ (VMMR) از موضوعاتی است که به‌دلیل توجه کم پژوهش‌گران، مطالعات زیادی روی آن صورت نگرفته است؛ هم‌اکنون، اغلب سامانه‌های نظارتی و امنیتی از پلاک خودروها استفاده می‌کنند. با اینکه سامانه‌های مبتنی بر پلاک به دقت قابل قبولی رسیده‌اند، ولی پاسخ‌گویی تمامی نیازها نیستند. نیازهایی همچون تشخیص جعل پلاک و ردگیری یک خودرو با مدل مشخص به‌خصوص در حالتی که پلاک قابل تشخیص نیست. با اضافه کردن قابلیت شناسایی نوع و مدل وسیله نقلیه به سامانه‌های نظارتی و امنیتی، گستره جدیدی از قابلیت‌های کاربردی را می‌توان تعریف کرد.

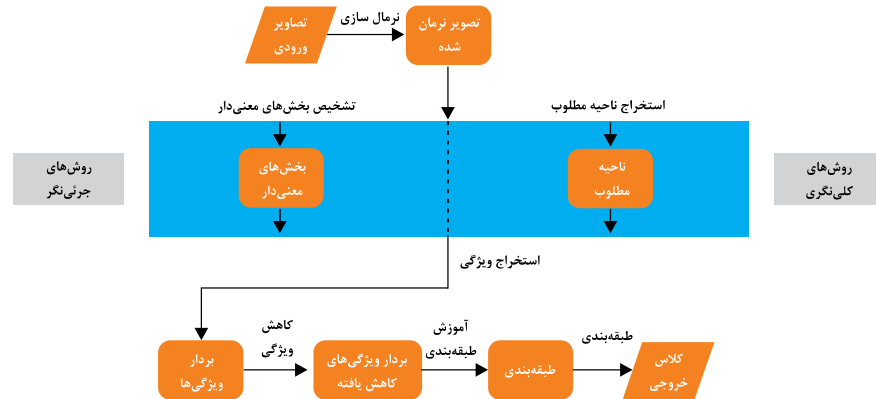
سامانه‌های تشخیص و شناسایی وسیله نقلیه را به سه دسته کلی "تشخیص وسیله نقلیه"^۲، "شناسایی دسته کلی وسیله نقلیه" و "شناسایی نوع و مدل وسیله نقلیه"^۳ می‌توان تقسیم‌بندی کرد. هدف در سامانه‌های تشخیص وسیله نقلیه، تشخیص مکان و محدوده خودرو در تصویر است؛ روش‌های بی‌شماری در این زمینه ارائه شده و به دقت‌های قابل قبولی دست یافته‌اند [۲، ۱]. یافتن دسته کلی وسیله نقلیه مانند وسایل نقلیه سنگین، سبک و سواری‌ها، هدف سامانه‌های دسته دوم است؛ روش‌های متعددی برای این منظور نیز ارائه شده است [۳-۶]. سامانه‌های دسته سوم با سخت‌ترین نوع مسئله در این سه دسته مواجهند؛ یعنی یافتن نوع و مدل دقیق وسیله نقلیه؛ برای مثال پراید ۱۳۱ و یا پژو ۲۰۶ وجود تعداد طبقه‌های زیاد، تفاوت درون‌طبقه‌ای بسیار و تفاوت بین طبقه‌ای کم این مسئله را نسبت به مسائل دسته دوم، دشوارتر می‌گردد.

سامانه‌های VMMR کاربردهای متنوعی دارند. تشخیص تقلب در سامانه‌های نظارتی، جستجو برای خودرویی با نوع و مدل مشخص در سامانه‌های امنیتی دو نمونه از این کاربردها است. آمارگیری از فراوانی انواع و مدل‌های مختلف خودروها در محدوده‌های مختلف شهری و کشوری

¹ Vehicle Make and Model Recognition

² Vehicle Detection

³ Vehicle Type Recognition



(شکل-۱): روند نمای مرحله کار روشهای کلی نگر و چنگی نگر

(Figure-1): Flowchart of Holistic and part-based approaches

۲-۲- روشهای چنگی نگر

روشهای اندکی در این دسته ارائه شده‌اند. این روشهای به دنبال یافتن بخش یا بخش‌های معنی‌دار یا متمایز‌کننده در تصویر هستند. برای مثال، یافتن مکان چراغها و استفاده از آن‌ها برای جداسازی طبقه‌ها. البته هر بخش معنی‌داری به‌الزام متمایز‌کننده نیست. ضعف عمدی این روشهای در مکان‌یابی بخش‌های مناسب است؛ در صورتی که بخش مورد نظر به درستی مکان‌یابی نشود یا قدرت تمایز قابل قبولی نداشته باشد، عملکرد کلیه مراحل بعدی تحت تأثیر قرار خواهد گرفت. در صورتی که از الگوریتم‌های هوشمند برای مکان‌یابی بخش‌ها استفاده نشود، این روشهای نیز عملکردی مشابه با روشهای کلی نگر خواهند داشت.

سایلیس و همکاران² [16] نشان واره³ را بخشی متمایز‌کننده برای شناسایی مدل خودروها در نظر گرفته‌اند. آن‌ها ابتدا با استفاده از مکان و اندازه پلاک، ناحیه مطلوب را استخراج و سپس به روش نگاشت ویژگی تناسب فاز^۳ نواحی بر جسته مانند لبه‌ها و گوشه‌ها را استخراج کرده‌اند. آنگاه با نگاشت خروجی الگوریتم بر روی محور افقی و فیلتر کردن مقادیر کمتر از یک حد آستانه، محل تقریبی نشان واره را تشخیص داده‌اند. آن‌ها از روش SIFT برای استخراج ویژگی از نشان واره و از k-NN برای طبقه‌بندی تصاویر استفاده و دقت ۹۱٪ را برای مجموعه داده‌ای با ۱۲۰۰ نشان واره گزارش کرده‌اند.

جدول (۲) روشهای ارائه شده در این گروه را دسته‌بندی و عملکرد هر یک را به صورت خلاصه ارائه کرده است.

۱-۲- روشهای کلی نگر

غلب روشهای ارائه شده پیشین، در این دسته قرار می‌گیرند. این روشهای با پردازش کل تصویر یا ناحیه مطلوبی از آن، به دنبال یافتن یک توصیف کلی از تصویر هستند؛ یکی از ضعف‌های عمدی این روشهای استفاده از فرضیات ناقص برای جستجو و استخراج ناحیه مطلوب است. از طرفی بدليل استخراج ویژگی از یک ناحیه بزرگ، حساسیت به تغییرات اندک زاویه نیز از جمله ضعف‌های این روشهای به شمار می‌آید. کونوس [8] از مکان و اندازه پلاک برای تشخیص ناحیه مطلوب استفاده کرده است؛ به این صورت که ضرایب خاصی نسبت به ابعاد پلاک در نظر گرفته و محدوده اطراف آن را استخراج کرده است. این شیوه توسط افراد بسیاری به کار گرفته شده است [9-14]. کونوس سپس از نسخه ساده‌شده‌ای از عملگر^۱ [15] به صورت چندبخشی، برای استخراج ویژگی از ناحیه مطلوب بهره گرفته است. از فاصله اقلیدسی به عنوان معیار شباهت و از k-NN به عنوان طبقه‌بند استفاده شده است. در این مقاله، آزمایش‌ها بر روی دو مجموعه داده، یکی برای سواری‌ها که از یکصد تصویر در ده طبقه و دیگری برای وسایل نقلیه سنگین که از پانصد تصویر در هفت طبقه تشکیل شده، صورت گرفته است. بهترین دقت گزارش شده برای این دو مجموعه داده، به ترتیب ۹۴٪ و ۹۲٪ هستند. بدليل شباهت ساختاری زیاد روشهای ارائه شده و به منظور صرفه‌جویی در فضا، جدول (۱) عملکرد این روشهای را به همراه دقت گزارش شده برای هر یک، خلاصه کرده است.

(جدول-۱): خلاصه نتایج ارائه شده توسط روش های گذشته کلی نگر

(Table-1): Summarized results of previous holistic methods

مرجع	استخراج ویژگی از	روش استخراج ویژگی	روش طبقه بندی	مجموعه داده	نمای تصاویر	دقت گزارش شده
[8]	ناحیه مطلوب	SIFT چند بخشی	k-NN و فاصله اقلیدسی	۱۰۰ تصویر از ۱۰ کلاس سواری ۵۰۰ تصویر از ۷ کلاس سنگین	جلو	۹۴٪ ۹۲٪
[17]	ناحیه مطلوب	گردیان های نگاشت شده مربعی ^۱	k-NN و فاصله اقلیدسی	۱۱۳۲ تصویر از ۷۲ کلاس	جلو	۹۳٪
[13]	ناحیه مطلوب	تشخیص گوشی هریس ^۲ چند بخشی	بیز ساده	۲۶۲ تصویر از ۷۴ کلاس	جلو	۹۶٪
[18]	ناحیه مطلوب و چراخ ها	تشخیص لبه کنی ^۳	k-NN MLP	۱۸۰ تصویر از ۶ کلاس	جلو	۹۹٪/۹۹ ۹۹٪/۵۳
[19]	ناحیه مطلوب	تبديل پیچک ^۴	SVM k-NN	۳۰۰ تصویر از ۵ کلاس	پشت	۹۹٪ ۹۲٪
[20]	ناحیه مطلوب	تبديل کنتورلت ^۵ و کاهش ویژگی با D-LDA ^۶	SVM	۳۰۰ تصویر از ۲۰ کلاس	جلو	۹۶٪
[21]	ناحیه مطلوب	SURF چند بخشی HOG چند بخشی	SVM و رای گیری چندگانه	۶۹۳۶ تصویر از ۲۹ کلاس	جلو	۹۹٪
[22]	ناحیه مطلوب	SIFT و دگذاری ویژگی پراکنده ^۷ برای کاهش ویژگی	SVM	۲۵۰۰ تصویر از ۱۰ کلاس	جلو	۹۳٪/۲۰
[14]	ناحیه مطلوب	هیستوگرام شکل انرژی محلی ^۸	SVM	۱۹۶ تصویر از ۲۲ کلاس (آموزش) ۳ ویدئو به طول ۲-۱ دقیقه (آزمایش)	جلو	۹۵٪/۸۳
[23]	ناحیه مطلوب	SURF و SIFT هیستوگرام لبه ^۹	k-NN	۳۸۵۹ تصویر از ۱۷ کلاس	جلو	۹۱٪/۷
[24]	ناحیه مطلوب	استفاده از پیکسل ها به عنوان ویژگی عمیق ^{۱۰}	شبکه عصبی عمیق	۳۲۱۰ تصویر از ۱۰۷ کلاس	جلو	۸۸٪/۲
[25]	ناحیه مطلوب	SURF چند بخشی و تشکیل کیسه ای از کلمات تصویری ^{۱۱}	SVM چندگانه و رای گیری	۶۶۰۲ از ۲۹ کلاس	جلو	۹۵٪/۷۷

(جدول-۲): خلاصه نتایج ارائه شده توسط روش های گذشته جزئی نگر

(Table-2): Summarized results of previous part-based methods

مرجع	استخراج ویژگی از	روش استخراج ویژگی	روش طبقه بندی	مجموعه داده	نمای تصاویر	دقت گزارش شده
[16]	نشان واره	SIFT	k-NN	۱۲۰۰ تصویر از ۱۰ کلاس	جلو	۹۱٪
[26]	نشان واره و پنجه ای در سمت چپ آن	DCT ^{۱۲}	SVM	۱۹۶ تصویر از ۱۲ کلاس	جلو	۹۷٪
[27]	چراخ های عقب و ناحیه مطلوب	لبه های ناحیه مطلوب، چراخ ها و زاویه چراخ هابا پلاک	k-NN	۴۰ تصویر از ۱۸ کلاس (آموزش) ۱۸ ویدئو از ورود ۱۸ خودرو به پارکینگ (آزمایش)	پشت	۸۹٪
[28]	بخش های پویا	LESH	k-NN و معیار شباهت K-L و اگرایی L	۳۸ کلاس با حداقل ۱۵ نمونه برای هریک	پشت	۶۲٪ ۴۸٪
[29]	نشان واره	SIFT	شبکه عصبی احتمالی	۱۱۰ تصویر از ۱۱ کلاس	جلو	(نوع) ۸۵٪ (مدل) ۵۴٪
[30]	نوشته های ^{۱۳} پشت خودرو	اندازه و مکان نوشته ها و HOG	SVM	۵۲ تصویر از ۵۲ کلاس	پشت	۹۳٪/۷۵

⁷ Sparse Feature Coding⁸ Local Energy Shape Histogram (LESH)⁹ Edge Histogram¹⁰ Deep Neural Network¹¹ Bag of Visual Words¹² Discrete Cosine Transform¹³ Emblems¹ Squared Mapped Gradients² Harris Corner Strength³ Canny Edge Detector⁴ Curvelet Transform⁵ Contourlet Transform⁶ Histogram of Oriented Gradients

۳- روش پیشنهادی

اعمال می‌شوند. در مرحله آزمایش، ابتدا هر م اندازه‌های متفاوت تصویر تشکیل شده و از همه سطح‌های هرم ویژگی استخراج می‌شود (با هر روش دلخواهی)؛ سپس فیلتر ریشه و بخش‌ها به مکان‌های مختلف در ماتریس ویژگی‌ها در هر یک از سطح‌های هرم اعمال می‌شود. مکان‌هایی که مجموع امتیاز آن‌ها از آستانه مشخصی بیشتر است، به عنوان خروجی‌های مثبت علامت‌گذاری خواهند شد. برای اعمال کردن فیلتر بخش‌ها باید رابطه بخش‌ها با یکدیگر را نیز لاحظ کرد. یافتن چنین مدلی برای هر طبقه از خودروها، یک مسئله بهینه‌سازی دشوار به حساب می‌آید [32].

پارامترهای مدل M را به دو بخش تقسیم می‌کنیم. فیلترها (β) و رابطه بین بخش‌ها (Z). هدف، یافتن هر دوی این پارامترها با استفاده از مجموعه داده آموزشی برچسبدار D است به شکلی که $(x_1, y_1), \dots, (x_n, y_n)$ و $D = \{1, -1\}^n$. یک طبقه‌بند را در نظر بگیرید که نمونه x را با تابعی به فرم زیر امتیازدهی می‌کند:

$$f_\beta(x) = \max_{z \in Z(x)} \beta \cdot \phi(x, z) \quad (1)$$

تابع $\phi(x, z)$ بردار ویژگی بخشی از نمونه x که متناسب با رابطه z است را برمی‌گرداند. $Z(x)$ مجموعه مقادیر ممکن z برای نمونه x است. با اعمال کردن یک حد آستانه به خروجی تابع f_β ، عضویت نمونه به مدل M را می‌توان تعیین کرد. مشابه با ماشین بردار پشتیبان^۲ (SVM) استاندارد، برای به دست آوردن β با استفاده از مجموعه داده D ، تابع هدف زیر را کمینه می‌کنیم:

$$L_D(\beta) = \frac{1}{2} \|\beta\|^2 + C \sum_{i=1}^n \max(0, 1 - y_i f_\beta(x_i)) \quad (2)$$

بخش نخست از فرمول (۲) برای پیشنهاد کردن فاصله بین بردارهای پشتیبان و بخش دوم تابع خطی لوایی استاندارد است. ثابت C نیز تاثیر خطای لوایی بر هزینه کل را تعیین می‌کند. چیزی که فرمول (۲) را از رابطه استاندارد SVM متفاوت می‌سازد، وجود مجموعه $Z(x)$ است. در صورتی که طول این مجموعه برابر با یک باشد، f_β نسبت به β خطی بوده و فرمول (۲) تبدیل به رابطه SVM خطی خواهد شد. در غیر این صورت، با یک رابطه غیر محدب روبرو هستیم. برای حل این رابطه از ماشین بردار پشتیبان با مقادیر مجهول^۳ (LSVM) استفاده می‌کنیم [32]. این الگوریتم از یک رابطه

روش‌های تشخیص و شناسایی اشیا به مرور زمان و به دلیل مواجهه شدن با چالش‌های جدید، به روش‌های جزئی نگر گرایش پیدا کرده‌اند [31-33]. برای مثال جهت تشخیص موفق انسان در تصویر باید مشکلات متعددی مانند تغییرات روش‌نایابی، زوایای متفاوت و انسداد بخشی از بدن را پشت سر گذاشت. روش‌های مبتنی بر بخش^۴ که در دسته روش‌های جزئی نگر قرار می‌گیرند، به همین منظور ارائه شده‌اند. این روش‌ها که اغلب در تشخیص اشیا به کار گرفته شده‌اند، با استخراج بخش‌های متمایز‌کننده از تصویر به طبقه‌بندی تصاویر می‌پردازند [32, 33].

روش پیشنهادی یک روش مبتنی بر بخش است که بر مبنای ایده مطرح شده در [32] شکل گرفته است. ایده مطرح شده در این مقاله، پیش از این در موضوع شناسایی نوع و مدل خودرو ارائه نشده است. از آنجا که همه خودروها دارای بخش‌های مشابه و مشخصی هستند، یک رویکرد مناسب برای تمایز آن‌ها از یکدیگر، تمرکز بر روی بخش‌های آن‌ها است. این رویکرد منطقی است، زیرا تفاوت ظاهری مدل‌های مختلف، در طراحی و شکل بخش‌ها و ارتباط بین آن‌ها نهفته است. برای مثال، با درنظر گرفتن تنها چراغ‌های جلوی خودروها تعداد مدل‌های بسیاری را از هم می‌توان تفکیک کرد. در اینجا یک سؤال مهم مطرح می‌شود. کدام بخش‌ها برای تفکیک مدل‌های مختلف خودرو مناسب‌تر هستند؟ ذهن انسان برای هر مدلی از خودرو، یک یا چند مشخصه یاد می‌گیرد. این مشخصه‌ها به‌الزام یک بخش معنی‌دار مثل چراغ نیستند؛ ممکن است یک خم یا پیچ در بخش مشخصی از بدنه خودرو باشند. روش پیشنهادی با توجه به طرز عملکرد ذهن انسان، برای هر مدل از خودرو، مشخصه‌های منحصر به‌فرد یاد می‌گیرد. این بخش‌ها یک بخش واقعی از خودرو (مثل جلوپنجره یا چراغ‌ها) و یا تنها بخش کوچکی از آن می‌توانند باشند.

۱-۳- مدل

روش ارائه شده در این مقاله، برای هر طبقه از خودروها یک مدل (طبقه‌بند) یاد می‌گیرد. هر مدل دارای چند بخش است: فیلتر ریشه، فیلتر بخش‌ها و رابطه بخش‌ها نسبت به یکدیگر. فیلترها همگی خطی هستند. یک فیلتر در واقع یک ماتریس سه‌بعدی است که بعد نخست و دوم آن، موقعیت و بعد سوم آن ضرایب را تعیین می‌کند. ضرایب مربوطه در موقعیت مشخص شده

¹Part-based Methods

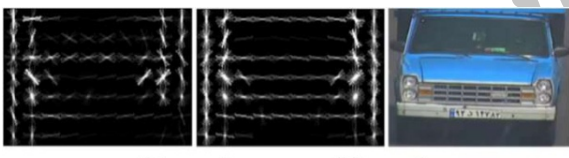
²Support Vector Machine

³Hinge Loss

⁴Latent SVM

یک نکته مهم در الگوریتم ارائه شده، شکل به کارگیری تصاویر آموزشی است. ترکیب پیشنهادی، تعادل مناسبی بین دقت بالا و سرعت قابل قبول در مرحله آموزش برقرار می کند. در مرحله نخست، فیلتر ریشه با استفاده از کلیه نمونه های مثبت مربوط به طبقه جاری و نمونه های منفی که شامل هیچ خودرویی نیستند، آموزش داده می شود. در پایان این مرحله، فیلتر ریشه، تفاوت بین خودرو و غیر خودرو را یاد می گیرد. در مرحله دوم، از تصاویر خودرو های متعلق به سایر طبقه ها به عنوان نمونه های منفی استفاده می شود. درنتیجه، ضرایب فیلتر ریشه برای تمايزدادن بین طبقه جاری و سایر طبقه ها، به سمت ساختار اختصاصی طبقه جاری متمايل می شود. شکل (۲)، فیلتر ریشه را در پایان مرحله نخست و دوم برای طبقه "وانت زامیاد" نمایش داده است. با مقایسه ضرایب فیلتر ریشه در پایان دو مرحله، بخش های منحصر بفرد خودروی وانت زامیاد مانند چراغ ها و جلو پنجره بهوضوح قابل مشاهده هستند.

محل قرارگیری الگوریتم تعیین مکان بخش ها بسیار مهم است؛ پس از پایان مرحله دوم، فیلتر ریشه خود را با ساختار انحصاری طبقه موردنظر تطبیق داده است؛ درنتیجه بخش هایی با قدرت تمايز بالاتر را در فیلتر ریشه می توان جستجو کرد. درصورتی که تعیین مکان بخش ها در پایان مرحله نخست اتفاق می افتاد، چنین امری میسر نمی شد.



(شکل-۲): مقایسه فیلتر ریشه آموزش دیده شده در پایان مرحله نخست (وسط) و دوم (چپ) برای طبقه "وانت زامیاد" (راست). از توصیف گر هیستوگرام گرادیان های جهت دار^۱ [31] برای استخراج ویژگی استفاده شده است.

(Figure-2): The comparison of a trained root filter at the end of stage 1 (middle), and stage 2 (left) for "Zamyad Truck" category (right). HOG descriptor is used for feature extraction [31].

در مسائلی که تعداد نمونه های منفی بسیار بیشتر از نمونه های مثبت است، استفاده از همه نمونه های منفی در فرآیند آموزش امکان پذیر نبوده و در عمل آموزش را غیر ممکن می گرداند. با توجه به اثبات ارائه شده در [32]، با یک روال تکرار شونده و با تنها زیر مجموعه ای از نمونه های منفی، مدلی با قدرت یکسان می توان به دست آورد. در این روال تکرار شونده، در هر مرحله از آموزش، تعدادی از نمونه های

^۱HOG

دوم مرحله ای برای بهینه سازی فرمول (۲) بهره می برد. در مرحله نخست، بهترین مقدار Z برای هر یک از نمونه های $Z(x)$ مثبت محاسبه می شود؛ سپس در مرحله دوم، مجموعه $Z(x)$ را ثابت در نظر گرفته تا فرمول (۲) به یک مسئله محدب تبدیل شود؛ آنگاه $L_D(\beta)$ را بهینه کرده و مقدار β را به دست می آوریم. این دو مرحله آنقدر تکرار می شوند تا تغییرات پاسخ ها از حد معینی کوچک تر شوند.

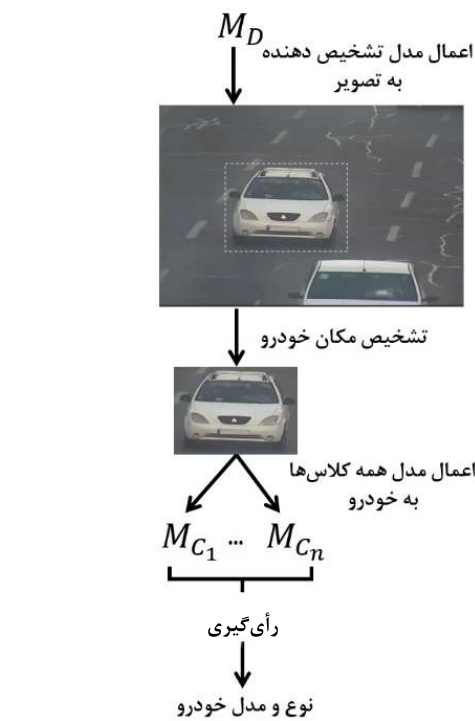
در مرجع [32] روشی مشابه با این روش برای تشخیص اشیا به کار گرفته شده است. در مسئله تشخیص شیء، با دو طبقه مواجه هستیم که مسئله ساده تری است. در شناسایی نوع و مدل خودرو، علاوه بر افزایش تعداد طبقه ها، رویکرد نیز تغییر می کند؛ زیرا شباهت ساختاری بسیار زیاد مدل های مختلف خودروها نیاز به قدرت بسیار بالای طبقه بند در تفکیک صحیح آن ها دارد. در ادامه به تغییرات موردنیاز منحصر به مسئله جاری پرداخته شده است.

در رویکرد پیشنهادی، برای هر طبقه C از خودروها یک مدل M_C یاد گرفته می شود که از سه بخش فیلتر ریشه، فیلتر بخش ها و رابطه هندسی بین بخش ها (S) تشکیل شده است: $M_C = (F_r, F_{parts}, S_{parts})$ (۱) الگوریتم مرحله یک مدل را ارائه کرده است. الگوریتم پیشنهادی از پنج مرحله اصلی تشکیل شده است. در مرحله نخست و دوم تنها فیلتر ریشه از مدل موردنظر آموزش داده می شود. در مرحله سوم، مکان بخش ها تعیین شده و فیلتر بخش ها مقدار دهی اولیه می شوند. مرحله چهارم و پنجم به آموزش کلیه بخش های مدل می پردازد. مرحله سوم از الگوریتم در بخش ۳-۲- باز شده است.

Function $M_c = \text{Train}(\text{Class } c)$

$F_r: [0]_{d \times d}$
 pos: positive samples (vehicle class c)
 neg: negative samples (non-vehicle)
 vehNeg: negative samples (other vehicle classes)
 1. Train F_r with {pos,neg} samples using SVM
 2. Retrain F_r with {pos,vehNeg} samples using SVM
 3. Initialize parts filters (F_{parts}) and positions (S_{parts}) using F_r
 $M_c = \{F_r, F_{parts}, S_{parts}\}$
 hardNeg:{x random negative examples}
 4. Train M_c with {pos,hardNeg} samples using LSVM
 5. Retrain M_c with {pos,vehNeg} samples using LSVM
 Return M_c
end

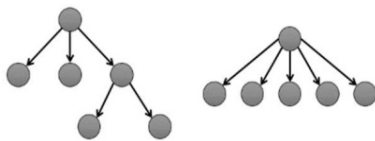
(الگوریتم-۱): مرحله کلی آموزش یک مدل برای یک طبقه از خودرو
 (Algorithm-1): The training algorithm of a model for a specific category of vehicles



(شکل-۴): مراحل کلی تشخیص نوع و مدل خودرو توسط سامانه پیشنهادی

(Figure-4): The flowchart of proposed system for vehicle make and model recognition

درختی و ستاره‌ای شکل (۵) یک الگوریتم برنامه‌نویسی پویا بهینه می‌توان ارائه کرد که همه حالت‌های مختلف انطباق را در زمان چندجمله‌ای بررسی کند [32]. می‌دانیم که خودرو دارای ساختار سخت است؛ یعنی مکان بخش‌های آن قابل جایه‌جایی نیستند. در نتیجه برای مدل کردن رابطه هندسی بین بخش‌ها از ساختار تصویری ستاره‌ای استفاده کردند. استفاده از این ساختار در مقایسه با ساختار درختی یک مزیت مهم دیگر نیز به همراه دارد. الگوی موجود در ساختار درختی، مدل را مجبور به یافتن بخش‌هایی می‌کرد که شاید بهترین بخش‌ها برای تفکیک یک طبقه از سایر طبقه‌ها نباشند؛ ولی در ساختار ستاره‌ای هیچ رابطه‌ای بین خود بخش‌ها وجود ندارد و مکان همه بخش‌ها تنها نسبت به ریشه تعیین می‌شود. در ضمن هر مدل تعداد بخش‌های متغیری می‌تواند داشته باشد.



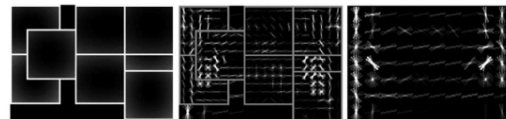
(شکل-۵): دو ساختار تصویری ستاره‌ای (راست) و درختی (چپ) برای توصیف رابطه هندسی بین بخش‌ها

(Figure-5): Star (right), and tree (left) pictorial structures for describing the spatial relationship between parts.

²Rigid

منفی دشوار (که توسط مدل آموزش دیده شده تا این مرحله، قابل طبقه‌بندی نیستند) انتخاب شده و به نمونه‌های دشوار قبلی اضافه می‌شوند؛ مرحله بعدی آموزش به جای کل نمونه‌های منفی، تنها با همین نمونه‌ها انجام می‌شود. به همین دلیل، در مرحله چهار تنها از نمونه‌های دشوار استفاده شده است. در مرحله پنجم که مرحله پایانی است، از همه نمونه‌های منفی با تعداد تکرار بسیار کمتر (نسبت به مرحله چهارم) بهره گرفته می‌شود تا مدل نهایی به دست آید. شکل (۳) مدل نهایی به دست آمده در پایان الگوریتم را برای طبقه "وانت زامیاد" نمایش داده است. در این شکل، تعداد بخش‌ها برابر با هشت قرار داده شده است. تمرکز بخش‌ها در اطراف چراغ‌ها و ساختار بخش‌ها از موارد قابل توجه در مدل به دست آمده است.

سامانه پیشنهادی ابتدا به صورت خودکار مکان خودرو در تصویر را تشخیص داده و سپس نوع و مدل آن را تعیین می‌کند. یک مدل که تنها از فیلتر ریشه تشکیل شده (M_D)، برای تشخیص خودرو آموزش داده شده است. پس از تشخیص مکان خودرو، محدوده موردنظر به صورت موازی به مدل‌های هریک از طبقه‌ها ($M_{C_1} \dots M_{C_n}$) ارسال می‌شود. طبقه‌ای که دارای بیشترین امتیاز است با رأی گیری به عنوان طبقه خروجی انتخاب می‌شود. اگر هیچیک از مدل‌ها قادر به تشخیص مدل خودرو نباشد، طبقه ناشناخته به عنوان خروجی تعیین می‌شود. شکل (۴) مراحل توضیح داده شده را به نمایش می‌گذارد.



(شکل-۳): مدل نهایی آموزش دیده شده برای طبقه "وانت زامیاد". فیلتر ریشه (راست). فیلتر بخش‌ها (وسط) و هزینه جایه‌جایی بخش‌ها نسبت به ریشه (چپ): رنگ تیره‌تر به معنی خطای کمتر است.

(Figure-3): The final trained model for "Zamyad Truck" category. Right: root filter, Middle: part filters, Left: a spatial model for location of each part relative to the root. Black color means zero error.

۳-۲ - مجموعه بخش‌های متمایز کننده

برای مدل کردن رابطه هندسی بین بخش‌ها، روش‌های متعددی ارائه شده است [34]. برای تطابق یک الگو با تصویر نیز روش‌هایی وجود دارد که به دلیل پیچیدگی، کارایی یا سرعت بالایی ندارند. برای مثال روش‌های [35,36] برای یافتن یک الگوی منطبق بهینه، مکان بخش‌ها را به مجموعه کوچکی از مکان‌ها محدود می‌کنند. با استفاده از ساختارهای تصویری^۱

¹Pictorial Structure

۴- نتیجه آزمایش‌ها

۴-۱- مجموعه داده

پیش از این، مجموعه داده‌ای در این حوزه به اشتراک گذاشته نشده است. تنها در سال جاری دو مجموعه داده ارائه شده‌اند [37, 38]. مجموعه داده نخست دارای حاشیه‌نویسی نبوده و درنتیجه قابلیت استفاده به صورت خودکار را ندارد [38]. مجموعه داده دوم علاوه بر دشواری‌هایی که برای به دست آوردنش وجود دارد، به تازگی ارائه شده و در محدوده اطلاعات ما، هیچ آزمایشی بر روی آن گزارش نشده است [37]: درنتیجه امکان مقایسه روش پیشنهادی با سایر روش‌ها وجود ندارد. برای آزمایش عمکرد روش پیشنهادی بر روی داده‌های واقعی، در بازه زمانی یک سال، فیلم‌هایی از چند دوربین مدار بسته که بر روی بزرگراه‌ها نصب شده بودند، تهیه شد. نمای خودروها رو به جلو است و دوربین‌ها به صورت میانگین در فاصله دهمتری قرار گرفته‌اند. درمجموع، ۴۸۵۸ تصویر از ۲۸ نوع و مدل مختلف از ۵۹۹۱ خودرو تهیه شد. تصاویر دارای تغییرات روشناکی بسیار زیاد ووضوح متفاوت هستند که در شکل (۶) قابل مشاهده است. محدوده، نما، نوع و مدل تمامی خودروهای موجود در تصاویر علامت‌گذاری و منطبق با استاندارد مسابقه پاسکال [39] حاشیه‌نویسی شده است. دشواری تشخیص نوع و مدل هر خودرو نیز تعیین شده است. شکل (۷) اطلاعات حاشیه‌نویسی شده یک نمونه خودرو را نمایش داده است. این مجموعه داده با نام BVMMR Database v2 به همراه مجموعه کدهای موردنیاز رای پردازش آن، از نشانی "http://mbt925.ir/publications.html" قابل دریافت است.



(شکل-۶): چند نمونه از شکل‌های متفاوت یک مدل یکسان در مجموعه داده تهیه شده

(Figure-6): Different samples of a single vehicle model in our dataset

در مرحله آموزشی مدل‌ها برای هر طبقه از خودروها، مکان بخش‌ها تغییر نمی‌کند، بلکه ضرایب یک تابع درجه دوم یاد گرفته می‌شوند که به عنوان یک تابع خطأ عمل می‌کند. با این ترفند، به هر بخش اجازه می‌دهیم تا از مکان بهینه خود دور شود، ولی برای آن یک پتانسیل در نظر می‌گیریم. برای تعیین مکان بخش‌ها از الگوریتم (۲) بهره‌برداریم. برای سادگی بیشتر در روش پیشنهادی، تعداد (n) و اندازه بخش‌ها (S) در همه مدل‌ها، ثابت و یکسان در نظر گرفته شده است.

F_r : root filter
 n : number of parts
 S : fixed size of parts
 $P:\{\}$
for $i=1:n$
 r : find a region of size S in F_r with maximum energy (norm of weights)
 $P: P \cup r$
 $F_r(r)=0$
end
bestLocations: $[false]_{n \times 1}$
for a fixed number of iterations
 if bestLocations(1:n)==false **then**
 break
 end
 p : a random part in P
 $P: P - p$
 $F_r(p)=\text{initial value}$
 r : find a region of size S in F_r with maximum energy
 if $r==p$ **then**
 bestLocations(index of p)=true
 continue
 end
 $P: P \cup r$
 $F_r(r)=0$
end

(الگوریتم-۲): الگوریتم حریصانه تعیین مکان بخش‌ها

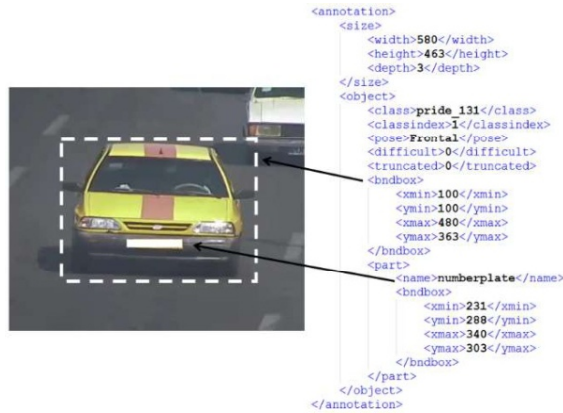
(Algorithm-2): The greedy algorithm used for initializing part location

الگوریتم (۲) از دو حلقه تشکیل شده است. در حلقه نخست، n بخش از فیلتر ریشه را که دارای بیشترین انرژی هستند، می‌یابیم. در حلقه دوم، سعی بر بهترکردن نتیجه حاصل شده داریم. به این صورت که یکی از بخش‌ها را به صورت تصادفی انتخاب کرده و به دنبال مکان بهتری برای آن هستیم. تا زمانی که قادر به بهترکردن مجموع انرژی به دست آمده از بخش‌ها باشیم (و به تعداد تکرار مشخص نرسیده باشیم)، این روال را تکرار می‌کنیم.

برای انجام آزمایش‌ها، به طور تقریبی نیمی از تصاویر برای آموزش و نیمی دیگر برای آزمایش در نظر گرفته شده‌اند. برای قابل مقایسه بودن کارهای آینده با نتایج ارائه شده در این مقاله، مجموعه آموزشی و آزمایشی استفاده شده نیز به همراه مجموعه داده، منتشر شده است. در مرحله آزمایش از حاشیه‌نویسی تصاویر هیچ استفاده‌ای نشده و مکان و محدوده خودروها همان‌طور که در شکل (۴) نشان داده شده است، به صورت خودکار (با دقت ۱۰۰٪) توسط سامانه پیشنهادی تشخیص داده می‌شود.

از ۲۸ طبقه موجود در مجموعه داده، ۲۱ طبقه را که دارای بیش از ۲۰ نمونه تصویر بوده‌اند را جدا کردیم. تعداد نمونه‌های هر طبقه در آورده شده است. برای دشوارتر کردن آزمایش، طبقه "سایر" را نیز اضافه کردیم. خودروهایی که شامل این ۲۱ طبقه نیستند، در طبقه سایر قرار گرفته‌اند. سامانه پیشنهادی در صورت عدم شناسایی یک نمونه ورودی، آن را در طبقه "سایر" طبقه‌بندی خواهد کرد.

برای آموزش مدل‌ها، از توصیف‌گر هیستوگرام گرادیان‌های جهت‌دار به دلیل قدرت بالا در توصیف و مقاومت در برای تغییرات روشنایی بهره برده‌ایم [31]. برای استخراج ویژگی با استفاده از این توصیف‌گر، اندازه سلول 8×8 و اندازه بلوک 2×2 به کار گرفته شده است؛ این مقادیر به دلیل نتایج مناسب ارائه شده در [31] و به صورت تجربی انتخاب شده‌اند. جدول (۴)، دقت بدست آمده برای هر طبقه و جدول (۵)، دقت مجموع و میانگین را ارائه کرده است. نتایج با در نظر گرفتن رتبه نخست، سه رتبه نخست و پنج رتبه نخست محاسبه شده‌اند. دقت میانگین با میانگین‌گیری از دقت همه طبقه‌ها بدست می‌آید. دقت مجموع نیز برابر است با نسبت تعداد نمونه‌های درست طبقه‌بندی شده به کل نمونه‌ها. شکل (۸) ماتریس درهم‌ریختگی^۲ را تنها برای سه رتبه نخست نمایش داده است.



(شکل-۷): یک نمونه تصویر حاشیه‌نویسی شده از مجموعه داده BVMMR 2016

(Figure-7): An example of annotated image in BVMMR 2016 dataset

(جدول-۳): تعداد نمونه‌های طبقه‌های انتخاب شده برای انجام آزمایش‌ها

(Table-3): Samples count per classes in experiments

شماره کلاس	نوع و مدل	شماره کلاس	تعداد نمونه‌ها	شماره کلاس	نوع و مدل	تعداد نمونه‌ها	تعداد نمونه‌ها
۱	لیفان ۶۲۰	۱۲	۲۰	۱	پراید ۱۳۱	۱۲	۲۰۰۱
۲	واتت مزدا	۱۳	۴۲	۲	پراید ۱۳۲	۱۳	۲۴۰
۳	مگان	۱۴	۲۲	۳	پراید ۱۴۱	۹۰	۱۶۰
۴	ام وی ام ۳۱۵	۱۵	۲۶	۴	ال	۱۵	۱۸۹
۵	ام وی ام ۵۳۰	۱۶	۳۶	۵	ریو	۷۲	۷۲
۶	سایر	۱۷	۲۶۸	۶	رانا	۸۱	۴۸۱
۷	پژو ۲۰۶	۱۸	۲۴۷	۷	سمند	۱۸	۵۰
۸	پژو ۴۰۵	۱۹	۷۸۵	۸	سمند سورن	۱۹	۱۷۲
۹	پژو ۴۰۵ اس ال ایکس	۲۰	۱۲۰	۹	تیبا	۲۰	۴۱
۱۰	پژو پارس	۲۱	۳۲۷	۱۰	زانیما	۲۱	۱۲۵
۱۱	پیکان ۸۰	۲۲	۴۸۶	۱۱	تعداد کل نمونه‌ها	۵۹۹۱	تعداد کل نمونه‌ها

(جدول-۴): دقت بدست آمده (%) برای هر یک از طبقه‌ها توسط سامانه پیشنهادی

(Table-4): The proposed system accuracy (%) for each class

تعداد نمونه‌ها	۱	۲	۳	۴	۵	۶	۷	۸	۹	۱۰	۱۱
تعداد نمونه‌ها	۱۹	۹	۱۰	۱۱	۱۴	۱۹	۱۴۲	۱۲۵	۳۸۳	۶۳	۱۵۹
رتبه اول	۸۸/۸۹	۸۸/۸۹	۸۸/۸۹	۸۸/۸۹	۸۸/۸۹	۸۸/۸۹	۹۴/۷۴	۹۱/۵۴	۹۶/۸۳	۹۳/۰۸	۱۰۰
سه رتبه اول	۸۸/۸۹	۸۸/۸۹	۸۸/۸۹	۸۸/۸۹	۸۸/۸۹	۸۸/۸۹	۹۴/۷۴	۱۰۰	۱۰۰	۱۰۰	۱۰۰
پنج رتبه اول	۸۸/۸۹	۸۸/۸۹	۸۸/۸۹	۸۸/۸۹	۸۸/۸۹	۸۸/۸۹	۱۰۰	۱۰۰	۱۰۰	۱۰۰	۱۰۰
تعداد نمونه‌ها	۱۰۰۴	۱۲۵	۱۲۵	۱۳	۱۴	۱۵	۱۷	۱۸	۱۹	۲۰	۲۱
رتبه اول	۹۹/۹۰	۹۹/۲۰	۹۹/۲۰	۹۹/۲۰	۹۹/۲۰	۹۹/۲۰	۹۹/۷۰	۹۹/۵۹	۹۱/۶۶	۹۱/۸۳	۱۰۰
سه رتبه اول	۱۰۰	۱۰۰	۱۰۰	۱۰۰	۱۰۰	۱۰۰	۱۰۰	۱۰۰	۱۰۰	۱۰۰	۱۰۰
پنج رتبه اول	۱۰۰	۱۰۰	۱۰۰	۱۰۰	۱۰۰	۱۰۰	۱۰۰	۱۰۰	۱۰۰	۱۰۰	۱۰۰

¹ Rank-3

² Confusion Matrix

متفاوت که دارای مکان بخش‌های متمايز‌کننده مشابه هستند، ممکن است دارای ضرایب فیلترهای متفاوت باشند. اين دو جنبه قدرت سامانه در تمایز مدل‌های شبیه به هم را افزایش می‌دهد.

مدت زمان تقریبی موردنیاز برای پردازش يك تصویر با ابعاد 600×800 توسط سامانه پیشنهادی بر روی رایانه‌ای با پردازنده Corei7-4710HQ 2.50 GHz برابر با $2/5$ ثانیه است. اين زمان برای کاربردهای برخط ایده‌آل نیست؛ هر چند با توجه به دقت به دست آمده و پیچیدگی الگوریتم در تشخیص بخش‌ها و استفاده از آن‌ها برای طبقه‌بندی، زمان بسیار مناسبی است. این زمان با موازی‌سازی بخش‌های مختلفی از سامانه حاصل شده است.

برای سنجش عملکرد روش پیشنهادی، چند پیاده‌سازی از روش‌های پرکاربردی که توسط کارهای پیشین استفاده شده‌اند، ارائه کرده‌ایم. این روش‌ها از ناحیه مطلوب استفاده می‌کنند. از این‌رو، محدوده خودرو را به دو نیم تقسیم کرده و نیمه‌ی پایینی را به عنوان ناحیه مطلوب در نظر گرفته‌ایم. برای عادلانه بودن مقایسه‌ها، از يك روش استخراج ویژگی مشترک با پارامترهای یکسان بهره برده‌ایم؛ يعني توصیف‌گر هیستوگرام گرادیان‌های جهت‌دار با اندازه سلول 8×8 و اندازه بلوک 2×2 . از ماشین بردار پشتیبان نیز برای طبقه‌بندی استفاده کرده‌ایم (الگوریتم C_SVM در کتابخانه LIBSVM [40]).

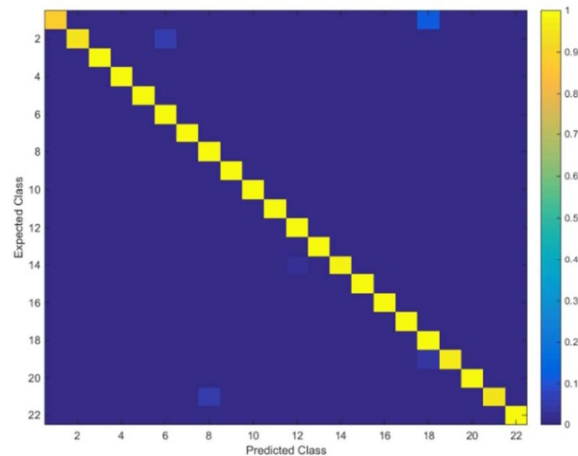
تعداد نمونه‌های طبقه‌های مختلف در مجموعه داده تهیه شده متوازن نیستند. برای مثال طبقه "پراید ۱۳۱" دارای ۲۰۰۱ نمونه آزمایشی و طبقه "لیفان ۶۲۰" دارای تنها بیست نمونه آزمایشی است. اگر در چنین حالتی از يك ماشین بردار پشتیبان استاندارد استفاده کنیم، نتیجه مطلوبی به دست نخواهد آمد؛ زیرا به احتمال زیاد طبقه‌بند همه نمونه‌ها را تحت عنوان طبقه "پراید ۱۳۱" طبقه‌بندی و دقت مناسبی نیز گزارش خواهد کرد. برای رفع این مشکل از ماشین بردار طبقه‌های دارای نمونه‌های کمتر، ارزش طبقه‌بندی درست آن‌ها را بالاتر خواهیم برد. اگر تعداد کل نمونه‌های آموزشی را برابر با N و تعداد نمونه‌های آموزشی طبقه i را برابر با $\frac{N}{n}$ فرض کنیم؛ برای برابر کردن ارزش همه طبقه‌ها، از وزن $\frac{N}{n}$ برای طبقه i استفاده کرده‌ایم.

جدول (۶) نتایج به دست آمده را ارائه کرده است. برای ماشین‌های بردار پشتیبان، طبقه "سایر" را کنار گذاشته‌ایم. روش 1_1 SINGLE_SVM تنها از يك ماشین بردار

(جدول-۵): دقت (%) مجموع و دقت میانگین به دست آمده توسط سامانه پیشنهادی

(Table-5): The proposed system overall and average accuracy (%)

پنجم رتبه نخست	سه رتبه نخست	رتبه نخست	
۹۹/۸۶	۹۹/۷۳	۹۸/۶۶	دققت مجموع
۹۹/۳۴	۹۸/۴۱	۹۶/۸۲	دققت میانگین



(شکل-۸): ماتریس درهم‌ریختگی به دست آمده توسط سامانه پیشنهادی برای سه رتبه نخست

(Figure-8): The confusion matrix of the proposed system at rank 3

با توجه به دشواری تصاویر مجموعه داده، دقت کسب شده بسیار مناسب است. یکی از جنبه‌های مهم روال پیشنهادشده برای آموزش يك مدل، عدم نیاز به تعداد تصاویر زیاد است؛ چنان‌که می‌بینیم طبقه‌های ۱ تا ۵ با تعداد تصاویر کم، با دقت بالایی طبقه‌بندی شده‌اند. نکته قابل توجه دیگر در نتایج ارائه شده، طبقه‌بندی درست اغلب تصاویر طبقه ۶ (سایر) است؛ این مهم به دلیل حد آستانه مناسبی است که هر مدل آموزش دیده است. طبقه‌هایی که دارای تعداد نمونه‌های مناسبی هستند، منجر به یادگیری مدل قدرتمندتری شده‌اند. برای مثال دقت طبقه‌های ۱۲، ۸ و ۱۸ در حالت رتبه نخست و سه رتبه نخست تفاوت چندانی نکرده‌اند.

علت نتایج مناسب کسب شده توسط سامانه پیشنهادی در شکل آموزش مبتنی بر بخش آن نهفته است. سامانه برای یادگیری بخش‌های هر طبقه از خودروها بر روی دو جنبه هر بخش تکیه می‌کند. جنبه نخست، مکان هر بخش است؛ دو مدل متفاوت از خودروها که دارای بخش‌های به‌ظاهر مشابه هستند، ممکن است از نظر مکان قرارگیری بخش‌ها تفاوت داشته باشند. جنبه دوم، ضرایب فیلتر هر بخش است؛ دو طبقه

بخش‌های متمایزکننده طبقه مربوطه را تشخیص داده و با استفاده از آن‌ها، نوع و مدل خودرو را تعیین می‌کند. برای بررسی دقت سامانه پیشنهادی و بدلیل عدم وجود مجموعه داده به اشتراک گذاشته شده، مجموعه دادهای با بیش از پنجهزار خودرو تهیه و بهصورت کامل حاشیه‌نویسی شده است. عملکرد مناسب سامانه روی این مجموعه داده نشان از قدرت بالای آن و مقاومت نسبت به تغییرات روش‌نایابی زیاد و تغییرات زاویه اندک تصاویر دارد.

یکی از ضعف‌های سامانه پیشنهادی، زمان اجرای آن است؛ با ترکیب مدل‌های هر طبقه در یک مدل واحد و عدم تکرار برخی از پردازش‌های مشترک بین مدل‌ها، کاهش چشم‌گیری در زمان کل سامانه می‌توان ایجاد کرد. علاوه بر این، استفاده از حد آستانه در هر سامانه‌ای، تقابلی بین دقت و یادآوری^۱ ایجاد می‌کند. علت اختلاف زیاد بین دقت گزارش شده برای رتبه نخست و سه رتبه نخست نیز همین موضوع است. با بهبود شکل استفاده از حد آستانه دقت سامانه را بهتر از پیش می‌توان کرد.

6-References

6-مراجع

- [1] Sun, Z., George, B., Ronald, M. "On-Road Vehicle Detection: A Review.", *IEEE Transactions on Pattern Analysis and Machine Intelligence.*, vol. 28, no. 5, pp. 694–711, 2006.
- [2] Li, X., Guo, X. "A HOG Feature and SVM Based Method for Forward Vehicle Detection with Single Cam-era.", *5th International Conference on Intelligent Human-Machine Systems and Cybernetics*, pp. 263–266, 2013.
- [3] Yousaf, K., Iftikhar, A., Javed, A. "Comparative Analysis of Automatic Vehicle Classification Techniques: A Survey.", *International Journal of Image, Graphics and Signal Processing.*, vol. 4, no. 9, pp. 52, 2012.
- [4] Ambardekar, A., Nicolescu, M., Bebis, G., Nicolescu, M. "Vehicle Classification Framework: A Comparative Study.", *EURASIP Journal on Image and Video Processing.*, vol. 2014, no. 1, pp. 1–13, 2014.
- [5] Zhang, B. "Reliable Classification of Vehicle Types Based on Cascade Classifier Ensembles.", *IEEE Transactions on Intelligent Transportation Systems.*, vol. 14, no. 1, pp. 322–332, 2013.
- [6] Dong, Z., Jia, Y. "Vehicle Type Classification Using Distributions of Structural and Appearance-Based Features.", *IEEE International Conference on Image Processing*, pp. 4321–4324, 2013.

¹Precision

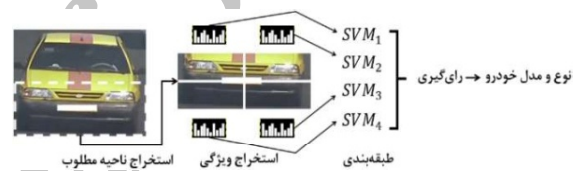
²Recall

پشتیبان بهصورت یک در برابر همه استفاده می‌کند. ۱_۲ یعنی از کل ناحیه مطلوب بهصورت یکجا استفاده شده است (تعداد سطر و ستون). روش MULTI_SVM_2_3 ناحیه مطلوب را به دو سطر و سه ستون تقسیم کرده و از هر بخش، ویژگی استخراج می‌کند؛ آنکه یک ماشین بردار پشتیبان برای هر بخش آموزش داده و برای تعیین خروجی، رأی‌گیری می‌کند. شکل (۹) مراحل عملکرد روش MULTI_SVM_2_2 را به عنوان یک نمونه نمایش داده است.

(جدول-۶): مقایسه نتایج پیشنهادی با چند روش مبتنی بر بخش

(Table-6): The comparison of the proposed system and some other part-based methods

روش	دقت میانگین (%)
SINGLE_SVM_1_1	۹۱/۲۸
MULTI_SVM_2_2	۸۸/۸۰
MULTI_SVM_2_3	۸۹/۱۵
MULTI_SVM_2_4	۹۰/۵۲
روش پیشنهادی	۹۷/۰۷



(شکل-۹): مراحل عملکرد روش MULTI_SVM_2_2
(Figure-9): The flowchart of MULTI_SVM_2_2 method

نتایج جدول (۶) دربرگیرنده دو نکته است. نکته نخست، برتری روش پیشنهادی با اختلاف زیاد نسبت به سایر روش‌های ارائه شده در جدول است. این اختلاف، تأثیر استفاده از بخش‌های متفاوت برای هر دسته از خودروها را به روشنی نشان می‌دهد. استفاده از بخش‌های مشابه در طبقه‌های شبیه به هم به دقت بالایی نمی‌تواند دست یابد. نکته دوم، عملکرد بهتر ماشین بردار پشتیبان در حالت تکبخشی نسبت به چندبخشی است. استفاده ترکیبی از چند طبقه‌بند ضعیفتر که هر یک تنها روی یک بخش از ناحیه مطلوب آموزش دیده‌اند، منجر به دقت کمتری شده است. برای رسیدن به دقیقی بالاتر در این حالت، انتخاب مناسب بخش‌ها بسیار مهم است.

۵-نتیجه‌گیری و کارهای آینده

در این مقاله روشی جدید برای تشخیص نوع و مدل خودرو ارائه شده شد. این روش برای هر طبقه از خودروها یک مدل منحصر به‌فرد یاد می‌گیرد. این مدل بهصورت خودکار،

- Applications II, Proc. of SPIE-IS&T Electronic Imaging*, pp. 725105–725115, 2009.
- [20] Hsieh, J.-W., Chen, L.-C., Chen, D.-Y. "Symmetrical SURF and Its Applications to Vehicle Detection and Vehicle Make and Model Recognition.", *IEEE Transactions on Intelligent Transportation Systems.*, vol. 15, no. 1, pp. 6–20, 2014.
- [21] Nazemi, A., Shafiee, M., Azimifar, Z. "On Road Vehicle Make and Model Recognition via Sparse Feature Coding.", *8th Iranian Conference on Machine Vision and Image Processing*, pp. 436–440, 2013.
- [22] Baran, R., Glowacz, A., Matiolanski, A. "The Efficient Real- and Non-Real-Time Make and Model Recognition of Cars.", *Multimedia Tools and Applications.*, no. June, pp. 1–20, 2013.
- [23] Gao, Y., Lee, H.J. "Moving Car Detection and Model Recognition Based on Deep Learning.", *Advanced Science and Technology Letters.*, vol. 90, no. Multimedia, pp. 57–61, 2015.
- [24] Siddiqui, A.J.A.M., Boukerche, A. "Towards Efficient Vehicle Classification in Intelligent Transportation Systems.", *Proceedings of the 5th ACM Symposium on Development and Analysis of Intelligent Vehicular Networks and Applications*, pp. 19–25, 2015.
- [25] Psyllos, A. "Vehicle Logo Recognition Using a SIFT-Based Enhanced Matching Scheme.", *Intelligent Transportation Systems , IEEE Transactions on.*, vol. 11, no. 2, pp. 322–328, 2010.
- [26] Yang, H., Zhai, L., Liu, Z., Li, L., Luo, Y., Wang, Y., Lai, H., Guan, M. "An Efficient Method for Vehicle Model Identification via Logo Recognition.", *International Conference on Computational and Information Sciences*, pp. 1080–1083, 2013.
- [27] Santos, D., Correia, P.L. "Car Recognition Based on Back Lights and Rear View Features.", *10th International Workshop on Image Analysis for Multimedia Interactive Services*, pp. 137–140, 2009.
- [28] Sarfraz, M.S., Saeed, A., Khan, M.H., Riaz, Z. "Bayesian Prior Models for Vehicle Make and Model Recognition.", *Proceedings of the 6th International Conference on Frontiers of Information Technology - FIT '09*, p. 6, ACM Press, New York, New York, USA, 2009.
- [29] Psyllos, A., Anagnostopoulos, C.N., Kayafas, E., Loumos, V. "Image Processing & Artificial Neural Networks for Vehicle Make and Model Recognition.", *10th international conference on applications of advanced technologies in transportation*, pp. 4229–4243, 2008.
- [7] Choo, S., Mokhtarian, P.L. "What Type of Vehicle Do People Drive? The Role of Attitude and Lifestyle in Influencing Vehicle Type Choice.", *Transportation Research Part A: Policy and Practice.*, vol. 38, no. 3, pp. 201–222, 2004.
- [8] Conos, M. "Recognition of Vehicle Make from a Frontal View.", Master Thesis, Czech Tech, 2007.
- [9] Dlagnekov, L. "Video-Based Car Surveillance: License Plate, Make, and Model Recognition.", Master Thesis, University of California, San Diego, 2005.
- [10] Negri, P., Clady, X., Milgram, M., Poulenard, R. "An Oriented-Contour Point Based Voting Algorithm for Vehicle Type Classification.", *18th International Conference on Pattern Recognition*, pp. 574–577, 2006.
- [11] Clady, X., Negri, P., Milgram, M., Poulenard, R. "Multi-Class Vehicle Type Recognition System.", *Artificial Neural Networks in Pattern Recognition, Lecture Notes in Computer Science*, pp. 228–239, Springer Berlin Heidelberg, 2008.
- [12] Huang, H., Zhao, Q., Jia, Y., Tang, S. "A 2DLDA Based Algorithm for Real Time Vehicle Type Recognition.", *11th International IEEE Conference on Intelligent Transportation Systems*, pp. 298–303, 2008.
- [13] Pearce, G., Pears, N. "Automatic Make and Model Recognition from Frontal Images of Cars.", *8th IEEE International Conference on Advanced Video and Signal Based Surveillance*, pp. 373–378, 2011.
- [14] Saravi, S., Edirisinghe, E. a. "Vehicle Make and Model Recognition in CCTV Footage.", *18th International Conference on Digital Signal Processing*, pp. 1–6, 2013.
- [15] Lowe, D.G. "Object Recognition from Local Scale-Invariant Features.", *17th IEEE International Conference on Computer Vision*, pp. 1150–1157, 1999.
- [16] Petrovic, V., Cootes, T. "Analysis of Features for Rigid Structure Vehicle Type Recognition.", *British Machine Vision Conference*, pp. 587–596, 2004.
- [17] Munroe, D.T., Madden, M.G. "Multi-Class and Single-Class Classification Approaches to Vehicle Model Recognition from Images.", *AICS '05*, pp. 93–102, 2005.
- [18] Kazemi, F.M., Samadi, S., Poorreza, H.R., Akbarzadeh-T, M.-R. "Vehicle Recognition Using Curvelet Transform and SVM.", *4th International Conference on Information Techno-logy*, pp. 516–521, 2007.
- [19] Zafar, I., Edirisinghe, E. a., Acar, B.S. "Localised Contourlet Features in Vehicle Make and Model Recognition.", *Image Processing: Machine Vision*

فصلنامی

در حال حاضر نیز، فارغ‌التحصیل مقطع دکترا از دانشگاه صنعتی شاهروド در گرایش هوش مصنوعی است. موضوع پایان‌نامه کارشناسی ارشد ایشان، "تشخیص و شناسایی چهره با استفاده از الگوریتم‌های موازی، توسط کودا" و موضوع پایان‌نامه دکترای او، "شناسایی نوع و مدل خودرو با استفاده از مدل‌های مبتنی بر بخش" است. علایق پژوهشی وی برنامه‌نویسی موازی و پردازش تصویر هستند.

نشانی رایانمه ایشان عبارت است از:

mbt925@gmail.com



علی سلیمانی کارشناسی ارشد و دکترای خود را در رشته مهندسی برق - الکترونیک در سال‌های ۱۳۷۳ و ۱۳۷۹ از دانشگاه علم و صنعت ایران دریافت کرد. پروژه کارشناسی ارشد خود را در زمینه پردازش سیگنال با منطق فازی و پرتوپلایر دکترای خود را در زمینه کنترل سامانه‌های چنددوری چندخروجی با استفاده از شبکه‌های عصبی فازی به انجام رسانید. از سال ۱۳۸۰ ایشان عضو هیئت علمی دانشگاه صنعتی شاهروド بوده و زمینه پژوهشی ایشان پردازش سیگنال‌های دیجیتال، شبکه‌های عصبی فازی و الگوریتم‌های تکاملی است.

نشانی رایانمه ایشان عبارت است از:

solimani_ali@shahroodut.ac.ir



حمدی حسن‌پور استاد تمام دانشکده مهندسی کامپیوتر دانشگاه شاهروド می‌باشد. ایشان در سال ۱۳۷۲ مدرک کارشناسی مهندسی کامپیوتر خود را از دانشگاه علم و صنعت و در سال ۱۳۷۵ مدرک کارشناسی ارشد خود را در گرایش هوش ماشین از دانشگاه صنعتی امیرکبیر دریافت کرد. در سال ۱۳۸۳ موفق به اخذ مدرک دکترای خود از دانشگاه صنعتی کوئینزلند استرالیا در گرایش پردازش سیگنال شد. از سال ۱۳۸۴ الی ۱۳۸۶ نامبرده به عنوان عضو هیئت علمی در دانشکده مهندسی برق و کامپیوتر دانشگاه صنعتی بابل فعالیت داشت؛ سپس به دانشکده مهندسی کامپیوتر دانشگاه شاهروド انتقال یافت. زمینه‌های علمی مورد علاقه ایشان پردازش سیگنال، پردازش تصویر، داده‌کاوی، و پردازش متن است.

نشانی رایانمه ایشان عبارت است از:

h.hassanpour@shahroodut.ac.ir

[30] Llorca, D., Colas, D., Daza, I. "Vehicle Model Recognition Using Geometry and Appearance of Car Emblems from Rear View Images.", *17th IEEE International Conference on Intelligent Transportation Systems*, pp. 3094–3099, 2014.

[31] Dalal, N., Triggs, B. "Histograms of Oriented Gradients for Human Detection.", *IEEE Computer Society Conference on Computer Vision and Pattern Recognition*, pp. 886–893, 2005.

[32] Felzenszwalb, P.F., Girshick, R.B., McAllester, D., Ramanan, D. "Object Detection with Discriminatively Trained Part-Based Models.", *IEEE transactions on pattern analysis and machine intelligence.*, vol. 32, no. 9, pp. 1627–45, 2010.

[33] Lampert, C., Nickisch, H., Harmeling, S. "Attribute-Based Classification for Zero-Shot Learning of Object Categories.", *IEEE Transactions on Pattern Analysis and Machine Intelligence.*, vol. 36, no. 3, pp. 453 – 465, 2014.

[34] Felzenszwalb, P.F., Huttenlocher, D.P. "Pictorial Structures for Object Recognition.", *International Journal of Computer Vision.*, vol. 61, no. 1, pp. 55–79, 2005.

[35] Fergus, R., Perona, P., Zisserman, A. "Object Class Recognition by Unsupervised Scale-Invariant Learning.", *IEEE Conference on Computer Vision and Pattern Recognition*, pp. 264–271, 2003.

[36] Weber, M., Welling, M., Perona, P. "Towards Automatic Discovery of Object Categories.", *IEEE Conference on Computer Vision and Pattern Recognition*, pp. 101–108, 2000.

[37] Yang, L., Luo, P., Loy, C.C., Tang, X. "A Large-Scale Car Dataset for Fine-Grained Categorization and Verification.", *Proc. IEEE Conference on Computer Vision and Pattern Recognition.*, vol. 1, pp. 3973–3981, 2015.

[38] "NTOU-MMR Dataset," <http://mmpLab.cs.ntou.edu.tw/mmpLab/MMR/MMR.html> (Accessed: 8 July 2016).

[39] "The PASCAL Visual Object Classes," [Online] 2008, <http://pascalin.ecs.soton.ac.uk/challenges/VOC/> (Accessed: 10 March 2015).

[40] Chang, C., Lin, C. "LIBSVM : A Library for Support Vector Machines.", *ACM Transactions on Intelligent Systems and Technology.*, vol. 2, no. 3, pp. 1–27, 2011.

محسن بیگلری مدرک کارشناسی خود را در گرایش نرم‌افزار از دانشگاه کاشان در سال ۸۹ دریافت کرد؛ سپس در سال ۹۱ موفق به اخذ مدرک کارشناسی ارشد در گرایش نرم‌افزار از همان دانشگاه شد.

